

斜め段落ち部における圧力および底面せん断応力の分布に関する実験的研究

防衛大学校土木工学教室

学生会員 ○前藤廣康

正審査官

防衛大学校土木工学教室

正会員 山田 正

重村利幸

1.はじめに 段落ち流れは、セキや水門周辺あるいは河床波の形成に伴って発生する局所流であり、従来多くの研究がされてきた。しかしそれらの多くは直角段落ち流れの研究であり、河道に形成される砂堆みられるような斜め段落ちに関する研究はほとんどされていない。本研究は直角段落ち流れと斜め段落ち流れとの水理特性を比較検討したものである。なら実験装置としては風洞を用いているが、これは水の場合より空気流れの方が測定値のよらつきが少なく、自由表面の影響を受けるためである。

2.実験装置、実験方法および実験条件 実験装置、図-1 によると

長さ 5.5 m、幅 40 cm、高さ 39 cm の吹出型の風洞であり、風洞入口上流から 2.8 m 下流の位置に段落ち高さ 2 cm, 4.5 cm および 10 cm の段落ちを設け、この近傍の流れの風速・圧力・底面せん断応力を測定した。段落ち角度としては 0 度・30 度・45 度および 60 度の 4 種類を採用した。なら模型表面は水理学的滑面となるようアクリル板を使用している。風速は上下左右に移動できるようにしてピト管を Y 型マノメーターに接続し測定した。表面圧力は模型表面に設けた孔径 $d = 1 \text{ mm}$ の圧力孔を 5 mm のビニール管に接続しマノメーターで測定した。表面摩擦応力は表面に接着させた外径 1 mm の注射針をプレストン管として用い底面摩擦応力を用いた。図-2 は段落ち地点より 2 cm 上流の平均風速の分布である。これから段落ち上流では境界層厚さが 2 cm 程度であり、接近流速はほぼ一様流であることがわかる。

3.実験結果および考察

(1) 再付着点距離に対する角度の効果：図-3 は斜め段落ち角度として 30 度、段落ち高さ $H_s = 10 \text{ cm}$ の場合の流れ方向にみた速度分布を示している。再付着点位置は底面におけるプレストン管で測定した風速がゼロとなるところ、すなわち底面せん断応力がゼロとなるところとして定義している。ただし $H_s = 10 \text{ cm}$ の場合は外径 1 mm のピト管を用いるとよらつきが大きかったので外径 4 mm のピト管で測定したもので代用している。図-4 は段落ち角度別による再付着点位置を平面的に示したものである。再付着点位置は段落ち高さ $H_s = 10 \text{ cm}$ の場合は△印、 $H_s = 5 \text{ cm}$ の場合は○印、 $H_s = 2 \text{ cm}$ の場合は□印で示されている。これらの中より再付着点位置は斜め段落ち面に対してほぼ平行になっていることがわかる。段落ち高さ H_s を無次元化した

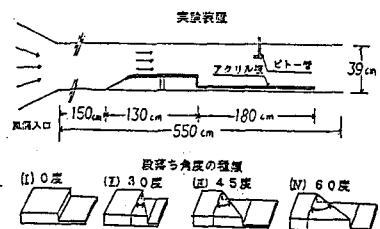


図-1 実験装置および段落ち角度の種類

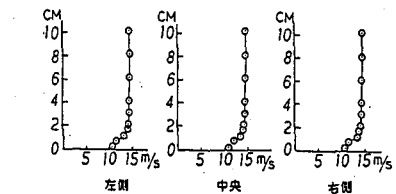


図-2 段落ち 2 cm 上流の平均風速分布

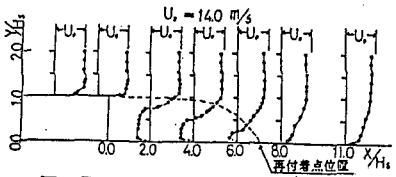


図-3 段落ち角 30 度の速度分布

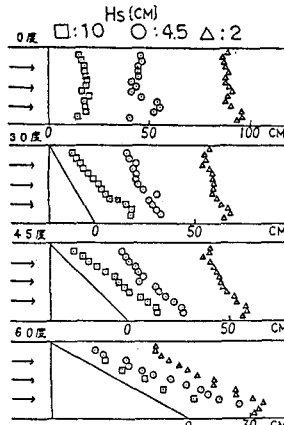


図-4 段落ち角度別による再付着点位置

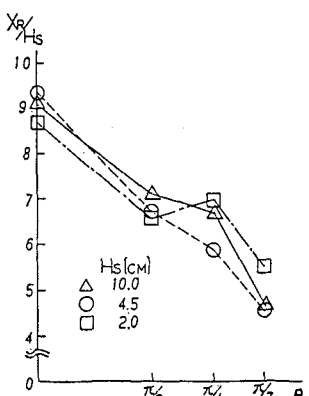


図-5 再付着点距離と段落ち角度の関係

再付着点距離 X_R と段落ち角度 θ の関係を示したもののが図-5である。これから X/H_s すなはち θ が増すごとにほぼ反比例してなり、斜め段落ちになるとほど再付着点距離は短くなっていることがわかる。図-6は表面タフト法によって観察した糸の方向と平面的に図示したものである。糸は4 cmの木綿糸を使用し編みのないようにして、5 cmメッシュに貼りつけた。このときの風速は段落ち3 cm上流で14 m/s、段落ち高さ $H_s = 4.5$ cmの場合である。なお破線は再付着点位置を示している。再付着点位置下流では糸がほぼ流下方向を示すが、段落ち面から再付着点位置間ににおいて複雑な動きをしていることがわかる。これは圧力差によって生じる逆流や横移動があることを示している。

(2) 段落ち部下流の底面上の圧力分布: 図-7は各段落ち角度の圧力分布と圧力係数 $C_p = (P - P_0) / \frac{1}{2} \rho U_0^2$ と X/H_s で無次元化して表わしたものである。ここに ρ : 流体の密度、 P_0, U_0 : 基準点(段落ち3 cm上流)での静圧と主流速度、 X : 段落ち部下流の流下距離、 $X/H_s = -1 \sim 0$ は段落ち面を表す。再付着後の圧力上昇はステップが深いほど大きく、ピーク値からの圧力の減少は少ない。これはステップが深いほど上流と下流の風速差が大きいため、ベルヌーイの定理より下流の圧力が上昇するためと考えられる。

(3) 再付着後の壁面上の摩擦応力分布: 図-8は段落ち角度、段落ち高さごとに摩擦抵抗係数 $C_f = T_0 / \frac{1}{2} \rho U_{max}^2$ の流下方向変化を表わしたものである。ここに U_{max} は各測定点上の最大風速ではせん断応力である。段落ち角度0度の場合には他の研究者の値も併記した。Bradshaw・Wong⁽¹⁾の場合はアリストン管の径が0.109 mmの場合であり、石川⁽²⁾の場合は風速が4.25 m/sである。これから段落ち角度を増しても摩擦抵抗係数は一定の傾向を示すが、角度が増すほど C_f が最大になるまでの距離がやや短くなっていることがわかる。また C_f の最大値はほぼ同一であるの下斜め段落ちの場合も直角段落ちの場合と同じように議論できるところとなる。

4. 今後は、各段落ち角度別に砂を入れて移動およびそれに伴う局所洗掘の測定並びに理論的解析を行う予定である。

謝辞: 本研究の遂行にあたり著者の一人(山田)

文部省科学試験研究費試験研究(研究代表: 吉川秀夫早大教員)より補助を得ている。ここに記して謝意を表す。

5. 参考文献 1) Bradshaw, P and Wong, F.Y.F (1972), Fluid Mech. 52, 113, 1972.

2) 石川忠晴: 土木学会論文報告集, No. 257, 21-29, 1977.

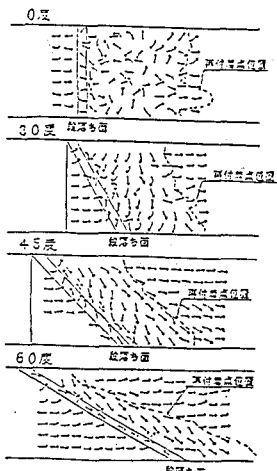


図-6 タフト法による流れ図

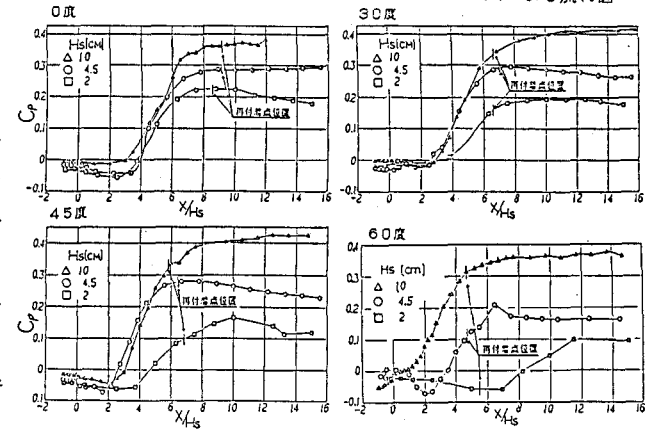


図-7 段落ちステップ上の流れの壁面圧力分布

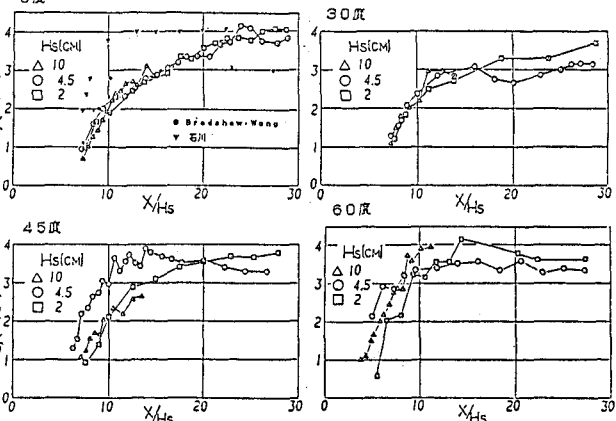


図-8 再付着後の底面摩擦抵抗係数